

Contribution à la modélisation et l'inférence de réseaux de régulation de gènes

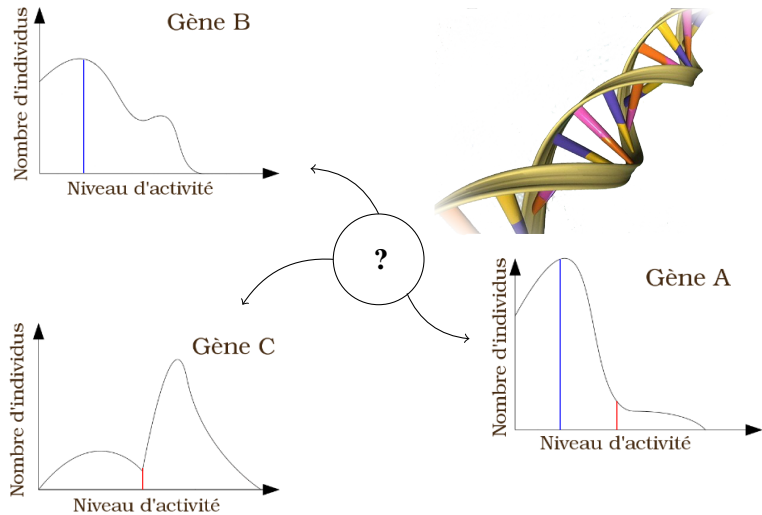
Magali Champion

*Sous la direction de Sébastien Gadat (IMT),
Christine Cierco-Ayrolles et Matthieu Vignes (INRA)*



05 décembre 2014

Motivation biologique

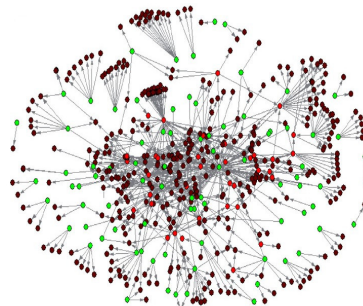


Objectif :

Retrouver le graphe \mathcal{G} qui modélise les interactions entre les p gènes étudiés à partir de deux types de données prises sur un échantillon de taille n :

- des données continues
 $E^1, \dots, E^p,$
- des données discrètes
 $M^1, \dots, M^p.$

On appelle réseau de régulation de gènes un tel graphe.



Cadre d'étude

Un réseau de régulation de gènes peut être modélisé par (Liu *et al.*, 2008) :

$$\forall j \in \llbracket 1, p \rrbracket, \quad E^j = \sum_{i=1}^p B_i^j E^i + \sum_{i=1}^p A_i^j M^i + \varepsilon^j.$$

Une méthode classique pour résoudre ce type de problèmes consiste à effectuer p régressions indépendantes à l'aide de méthodes pénalisées du type :

- Lasso (Tibshirani, 1996), ajout d'une pénalité en norme ℓ_1 ,
- Dantzig Selector (Candes *et al.*, 2007),

Cadre d'étude

Un réseau de régulation de gènes peut être modélisé par (Liu *et al.*, 2008) :

$$\forall j \in \llbracket 1, p \rrbracket, \quad E^j = \sum_{i=1}^p B_i^j E^i + \sum_{i=1}^p A_i^j M^i + \varepsilon^j.$$

Une méthode classique pour résoudre ce type de problèmes consiste à effectuer p régressions indépendantes à l'aide de méthodes pénalisées du type :

- Lasso (Tibshirani, 1996), ajout d'une pénalité en norme ℓ_1 ,
- Dantzig Selector (Candes *et al.*, 2007),
- Autres formalismes :

Forêts aléatoires (Huynh *et al.*, 2010),
Réseaux bayésiens (Friedman *et al.*, 2000).

Contributions

1 Algorithmes de \mathbb{L}_2 -Boosting et leurs applications

- Les algorithmes de \mathbb{L}_2 -Boosting pour la résolution de régressions parcimonieuses multi-tâches
- Application des algorithmes de \mathbb{L}_2 -Boosting à l'analyse de sensibilité pour l'estimation d'indices de Sobol

2 Apprentissage de liens causaux dans des graphes acycliques dirigés

- Estimation de graphe par maximum de vraisemblance pénalisé
- Inégalités en prédiction et en estimation
- Implémentation d'un algorithme génétique hybride

1 Algorithmes de \mathbb{L}_2 -Boosting et leurs applications

- Les algorithmes de \mathbb{L}_2 -Boosting pour la résolution de régressions parcimonieuses multi-tâches
 - Application des algorithmes de \mathbb{L}_2 -Boosting à l'analyse de sensibilité pour l'estimation d'indices de Sobol

- Estimation de graphe par maximum de vraisemblance pénalisé
 - Inégalités en prédiction et en estimation
 - Implémentation d'un algorithme génétique hybride

Régressions parcimonieuses

On considère un échantillon d'apprentissage $(X_k, Y_k)_{1 \leq k \leq n}$ constitué de n copies i.i.d. de $(X, Y) \in \mathbb{R}^p \times \mathbb{R}^m$ avec :

$$Y = f(X) + \varepsilon,$$

où ε est une variable aléatoire centrée indépendante de X modélisant la présence de bruit, et $f := (f^1, \dots, f^m)$ est inconnue.

Régressions parcimonieuses

On considère un échantillon d'apprentissage $(X_k, Y_k)_{1 \leq k \leq n}$ constitué de n copies i.i.d. de $(X, Y) \in \mathbb{R}^p \times \mathbb{R}^m$ avec :

$$Y = f(X) + \varepsilon,$$

où ε est une variable aléatoire centrée indépendante de X modélisant la présence de bruit, et $f := (f^1, \dots, f^m)$ est inconnue.

Objectif : estimer f à partir des données.

Régressions parcimonieuses

On considère un échantillon d'apprentissage $(X_k, Y_k)_{1 \leq k \leq n}$ constitué de n copies i.i.d. de $(X, Y) \in \mathbb{R}^p \times \mathbb{R}^m$ avec :

$$Y = f(X) + \varepsilon,$$

où ε est une variable aléatoire centrée indépendante de X modélisant la présence de bruit, et $f := (f^1, \dots, f^m)$ est inconnue.

Hypothèse : il existe un système de fonctions $(g_j)_{1 \leq j \leq p}$ normées, noté \mathcal{D} et $(a_{i,j})_j$, S^i -parcimonieuse de support \mathcal{S}^i , tels que :

$$\forall i \in \llbracket 1, m \rrbracket, \quad f^i(X) = \sum_{j=1}^p a_{i,j} g_j(X^i).$$

Objectif : estimer f à partir des données.

Régressions parcimonieuses

On considère un échantillon d'apprentissage $(X_k, Y_k)_{1 \leq k \leq n}$ constitué de n copies i.i.d. de $(X, Y) \in \mathbb{R}^p \times \mathbb{R}^m$ avec :

$$Y = f(X) + \varepsilon,$$

où ε est une variable aléatoire centrée indépendante de X modélisant la présence de bruit, et $f := (f^1, \dots, f^m)$ est inconnue.

Hypothèse : il existe un système de fonctions $(g_j)_{1 \leq j \leq p}$ normées, noté \mathcal{D} et $(a_{i,j})_j$, S^i -parcimonieuse de support \mathcal{S}^i , tels que :

$$\forall i \in \llbracket 1, m \rrbracket, \quad f^i(X) = \sum_{j=1}^p a_{i,j} g_j(X^i).$$

Objectif : estimer f à partir des données.

$$\forall i \in \llbracket 1, m \rrbracket, \quad \hat{f}^i(X) = \sum_{j=1}^p \hat{a}_{i,j} g_j(X^i).$$

Les algorithmes de \mathbb{L}_2 -Boosting ont pour but d'approcher la fonction f par une succession d'approximations locales. Notons :

- $\hat{G}_k(f)$ l'approximation de la fonction f à l'étape k ,
- $\hat{R}_k(f)$ le résidu courant observable : $\hat{R}_k(f) := Y - \hat{G}_k(f)$.

Algorithme \mathbb{L}_2 -Boosting

For $k = 1$ to k_{up} **do**

 On choisit $\varphi_k \in \mathcal{D}$ tel que

$$|\langle \hat{R}_{k-1}(f), \varphi_k \rangle_n| = \max_{1 \leq j \leq p_n} |\langle \hat{R}_{k-1}(f), g_j \rangle_n|,$$

 On calcule la nouvelle approximation et le résidu associés à f

$$\hat{G}_k(f) = \hat{G}_{k-1}(f) + \gamma \langle \hat{R}_{k-1}(f), \varphi_k \rangle_n \varphi_k.$$

End

Extension au cas multi-tâches

Pour étendre l'algorithme, le point crucial est de choisir à la fois la coordonnée du résidu qui nécessite le plus d'amélioration, et l'élément du dictionnaire le plus pertinent $\varphi_k \in \mathcal{D}$.

- Sélection du prédicteur :

$$\sum_{j=1}^p \langle \hat{R}_{k-1}(f^{i_k}), g_j \rangle_n^2 = \max_{1 \leq i \leq m} \sum_{j=1}^p \langle \hat{R}_{k-1}(f^i), g_j \rangle_n^2,$$

- Sélection de l'élément du dictionnaire :

$$|\langle \hat{R}_{k-1}(f^{i_k}), \varphi_k \rangle_n| = \max_{1 \leq j \leq p} |\langle \hat{R}_{k-1}(f^{i_k}), g_j \rangle_n|,$$

- Calcul de l'approximation courante :

$$\hat{G}_k(f^{i_k}) = \hat{G}_{k-1}(f^{i_k}) + \gamma \langle \hat{R}_{k-1}(f^{i_k}), \varphi_k \rangle_n \varphi_k.$$

Résultats de consistance ($m = 1$)

- **\mathbf{H}_{dim}** : $p_n = \mathcal{O}_{n \rightarrow +\infty}(\exp(n^{1-\xi}))$, où $\xi \in (0, 1)$,
- **\mathbf{H}_ε** : $\sup_{1 \leq i \leq m_n} \mathbb{E} |\varepsilon^i|^t < \infty$, pour un $t > \frac{4}{\xi}$.

Théorème (Consistance, Bühlmann (2006))

Sous les hypothèses \mathbf{H}_{dim} et \mathbf{H}_ε , il existe $k_n := C \log(n)$ telle que si

$$S \sqrt{\frac{\log p}{n}} \xrightarrow[n \rightarrow +\infty]{} 0 :$$

$$\mathbb{E} \left\| f - \hat{G}_{k_n}(f) \right\|_n^2 \xrightarrow[n \rightarrow +\infty]{\mathbb{P}} 0.$$

Résultats de consistance ($m = 1$)

- **\mathbf{H}_{dim}** : $p_n = \mathcal{O}_{n \rightarrow +\infty}(\exp(n^{1-\xi}))$, où $\xi \in (0, 1)$,
- **\mathbf{H}_ε** : $\sup_{1 \leq i \leq m_n} \mathbb{E} |\varepsilon^i|^t < \infty$, pour un $t > \frac{4}{\xi}$.

Théorème (Consistance, Bühlmann (2006))

Sous les hypothèses \mathbf{H}_{dim} et \mathbf{H}_ε , il existe $k_n := C \log(n)$ telle que si

$$S \sqrt{\frac{\log p}{n}} \xrightarrow[n \rightarrow +\infty]{} 0 :$$

$$\mathbb{E} \left\| f - \hat{G}_{k_n}(f) \right\|_n^2 \xrightarrow[n \rightarrow +\infty]{\mathbb{P}} 0.$$

Résultats de consistance

- **H_{dim}^{Mult}** : $m_n = \mathcal{O}_{n \rightarrow +\infty}(\exp(n^{1-\xi}))$, $p_n = \mathcal{O}_{n \rightarrow +\infty}(n^{\xi/4})$ où $\xi \in (0, 1)$,
- **H_ε^{Mult}** : $\sup_{1 \leq i \leq m_n} \mathbb{E} |\varepsilon^i|^t < \infty$, $t > \frac{4}{\xi}$, et $\forall i \neq j$, $\text{Var}(\varepsilon^j) = \text{Var}(\varepsilon^i)$,
- **H_{RE[±]}** : La plus petite et la plus grande valeur propre λ_{min} et λ_{max} de ${}^t D_{\mathcal{S}^i} D_{\mathcal{S}^i}$ sont indépendantes de n telles que :

$$0 < \lambda_{min} < \dots < \lambda_{max} < \infty.$$

Théorème (Consistance, Champion *et al.* (2014))

Sous les hypothèses H_{dim}^{Mult}, H_ε^{Mult} et H_{RE[±]}, il existe $k_n := C \log(n)$ telle que si $S^i \sqrt{\frac{\log p}{n}} \xrightarrow[n \rightarrow +\infty]{} 0$:

$$\sup_{1 \leq i \leq m_n} \mathbb{E} \left\| f^i - \hat{G}_{k_n}(f^i) \right\|_n^2 \xrightarrow[n \rightarrow +\infty]{\mathbb{P}} 0.$$

Résultats de consistance

- **H_{dim}^{Mult}** : $m_n = \mathcal{O}_{n \rightarrow +\infty}(\exp(n^{1-\xi}))$, $p_n = \mathcal{O}_{n \rightarrow +\infty}(n^{\xi/4})$ où $\xi \in (0, 1)$,
- **H_ε^{Mult}** : $\sup_{1 \leq i \leq m_n} \mathbb{E} |\varepsilon^i|^t < \infty$, $t > \frac{4}{\xi}$, et $\forall i \neq j$, $\text{Var}(\varepsilon^j) = \text{Var}(\varepsilon^i)$,
- **H_{RE[±]}** : La plus petite et la plus grande valeur propre λ_{min} et λ_{max} de $D_{\mathcal{S}^i} D_{\mathcal{S}^i}$ sont indépendantes de n telles que :

$$0 < \lambda_{min} < \dots < \lambda_{max} < \infty.$$

Théorème (Consistance, Champion *et al.* (2014))

Sous les hypothèses **H_{dim}^{Mult}**, **H_ε^{Mult}** et **H_{RE[±]}**, il existe $k_n := C \log(n)$ telle que si $S^i \sqrt{\frac{\log p}{n}} \xrightarrow[n \rightarrow +\infty]{} 0$:

$$\sup_{1 \leq i \leq m_n} \mathbb{E} \left\| f^i - \hat{G}_{k_n}(f^i) \right\|_n^2 \xrightarrow[n \rightarrow +\infty]{\mathbb{P}} 0.$$

Recouvrement du support

Notons \mathcal{S}_k^i le support de $\hat{G}_k(f^i)$ à l'étape k .

- **H_S** : $\max_{j \notin \mathcal{S}^i} \|D_{\mathcal{S}^i}^+ g_j\|_1 < 1$, où D^+ est le pseudo-inverse de D ,
- **H_{SNR}** : $\forall j \in \mathcal{S}^i, |a_{ij}| \geq \log(n)^{-\kappa}$, avec $\kappa > 0$.

Théorème (Recouvrement du support, Champion *et al.* (2014))

Sous les hypothèses H_{dim}, H_ε, H_{RE[±]} et H_S, avec grande probabilité :

$$\forall k, \quad \mathcal{S}_k^i \subset \mathcal{S}^i.$$

De plus, si H_{SNR} est satisfaite pour κ suffisamment petit, avec grande probabilité, à la fin des itérations du Boosting :

$$\mathcal{S}_{k_n}^i = \mathcal{S}^i.$$

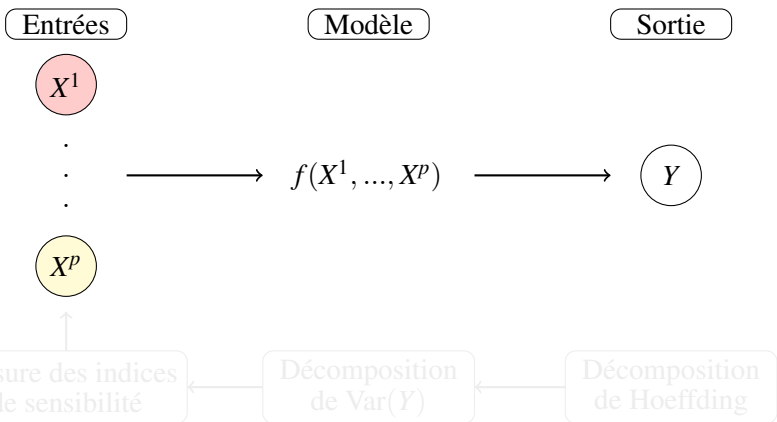
1 Algorithmes de \mathbb{L}_2 -Boosting et leurs applications

- Les algorithmes de \mathbb{L}_2 -Boosting pour la résolution de régressions parcimonieuses multi-tâches
- **Application des algorithmes de \mathbb{L}_2 -Boosting à l'analyse de sensibilité pour l'estimation d'indices de Sobol**

2 Apprentissage de liens causaux dans des graphes acycliques dirigés

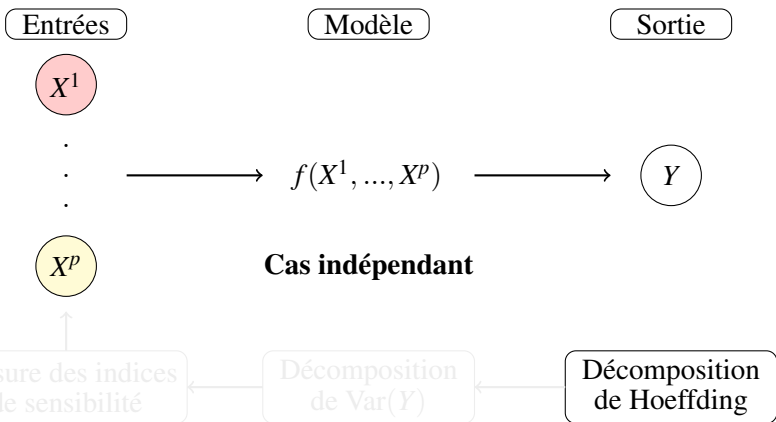
- Estimation de graphe par maximum de vraisemblance pénalisé
- Inégalités en prédiction et en estimation
- Implémentation d'un algorithme génétique hybride

Analyse de sensibilité



Objectif : Mesurer la variabilité de la réponse en fonction des paramètres d'entrée.

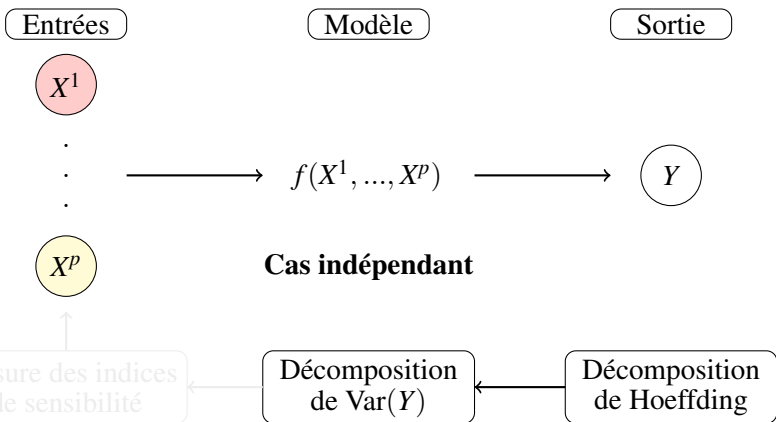
Analyse de sensibilité



$$f(X) = f_\emptyset + \sum_i f_i(X^i) + \sum_{1 \leq i < j \leq p} f_{ij}(X^i, X^j) + \dots + f_{1,\dots,p}(X) = \sum_{u \in S} f_u(X^u),$$

où $(f_u)_{u \in S}$ est une famille orthogonale.

Analyse de sensibilité



Alors : $\text{Var}(Y) = \sum_{u \in S} \text{Var}(f_u(X^u))$.

Analyse de sensibilité

Entrées

X^1

⋮



Modèle

$f(X^1, \dots, X^p)$



Sortie

Y

X^p

Cas indépendant



Mesure des indices
de sensibilité

Décomposition
de $\text{Var}(Y)$

Décomposition
de Hoeffding

où l'indice de sensibilité d'ordre $|u|$ est : $S_u = \frac{\text{Var}(f_u(X^u))}{\text{Var}(Y)}$.

Décomposition de Hoeffding - cas dépendant

Chastaing *et. al* (2012)

f se décompose de manière unique sous la forme d'une somme de fonctions orthogonalement hiérarchiques :

$$\begin{aligned}
 f(X) = & \underbrace{f_\emptyset}_{\text{constant}} + \sum_i \underbrace{f_i(X^i)}_{\text{effets principaux}} + \sum_{1 \leq i < j \leq p} \underbrace{f_{ij}(X^i, X^j)}_{\text{effets d'interaction}} \\
 & + \dots + \underbrace{f_{1, \dots, p}(X)}_{\text{résidu}},
 \end{aligned}$$

où $(f_u)_u \in H_u$ est hiérarchiquement orthogonale.

Exemple de décomposition orthogonale hiérarchique

$f_{ij}(X^i, X^j) \in H_{ij}$ vérifie $\langle f_{ij}(X^i, X^j), f_j(X^j) \rangle = \langle f_{ij}(X^i, X^j), f_i(X^i) \rangle = 0$.

Procédure d'orthogonalisation hiérarchique de Gram-Schmidt

Cette procédure consiste à construire une base de l'espace H_u . On considère uniquement les effets d'interactions d'ordre $|u| \leq 2$.

- Initialisation : pour tout i , on considère une base $(\phi_k^i)_{k=0}^L$ de $L^2(X^i)$. Alors :

$$H_i^L = \text{Vect}\{1, \phi_1^i, \dots, \phi_L^i\}.$$

- Pour tout (i, j) , étant donnés H_i^L et H_j^L , on construit H_{ij}^L :
 - une combinaison linéaire des éléments de $H_i^L \rightarrow \lambda_1$
 - une combinaison linéaire des éléments de $H_j^L \rightarrow \lambda_2$
 - $\phi^i(X^i) \times \phi^j(X^j)$

On vérifie que (λ_1, λ_2) satisfait les contraintes :

$$A^{ij} \begin{pmatrix} \lambda_1 \\ \lambda_2 \end{pmatrix} = D^{ij}.$$

Procédure d'orthogonalisation hiérarchique de Gram-Schmidt

Cette procédure consiste à construire une base de l'espace H_u . On considère uniquement les effets d'interactions d'ordre $|u| \leq 2$.

- Initialisation : pour tout i , on considère une base $(\phi_k^i)_{k=0}^L$ de $L^2(X^i)$. Alors :

$$H_i^L = \text{Vect}\{1, \phi_1^i, \dots, \phi_L^i\}.$$

- Pour tout (i, j) , étant donnés H_i^L et H_j^L , on construit H_{ij}^L :
 - une combinaison linéaire des éléments de $H_i^L \rightarrow \lambda_1$
 - une combinaison linéaire des éléments de $H_j^L \rightarrow \lambda_2$
 - $\phi^i(X^i) \times \phi^j(X^j)$

On vérifie que (λ_1, λ_2) satisfait les contraintes :

$$A^{ij} \begin{pmatrix} \lambda_1 \\ \lambda_2 \end{pmatrix} = D^{ij}.$$

Comment estimer cette décomposition ?

$$\begin{aligned}
 f(X) = & \underbrace{f_\emptyset}_{\text{terme constant}} + \sum_i \underbrace{f_i(X^i)}_{\text{effets principaux}} \\
 & + \sum_{1 \leq i < j \leq p} \underbrace{f_{ij}(X^i, X^j)}_{\text{effets d'interaction}} + \dots + \underbrace{f_{1,\dots,p}(X)}_{\text{résidu}},
 \end{aligned}$$

Deux problématiques distinctes :

- ➊ approximation des bases de H_u ,
- ➋ estimation parcimonieuse des coefficients dans cette base afin de sélectionner les interactions principales.

Greedy Hierarchically Orthogonal Functional Decomposition

Initialisation : On coupe \mathcal{O} en deux $\mathcal{O}_1 \cup \mathcal{O}_2$ de taille (n_1, n_2) .

Step 1 : $\forall u \in S$, on utilise la procédure d'orthogonalisation hiérarchique de Gram-Schmidt empirique avec \mathcal{O}_1 pour constituer une approximation de $H_u^{L,0}$:

$$\hat{H}_u^{L,0,n_1} := \text{Vect}\{\hat{\phi}_{1,n_1}^u, \dots, \hat{\phi}_{L,n_1}^u\}.$$

Step 2 : On utilise du \mathbb{L}_2 -Boosting avec \mathcal{O}_2 sur le dictionnaire appris $\mathcal{D} = \{\hat{\phi}_{1,n_1}^1, \dots, \hat{\phi}_{L,n_1}^1, \dots, \hat{\phi}_{1,n_1}^u, \dots, \hat{\phi}_{L,n_1}^u, \dots\}$ pour obtenir une décomposition parcimonieuse.

Greedy Hierarchically Orthogonal Functional Decomposition

Initialisation : On coupe \mathcal{O} en deux $\mathcal{O}_1 \cup \mathcal{O}_2$ de taille (n_1, n_2) .

Step 1 : $\forall u \in S$, on utilise la procédure d'orthogonalisation hiérarchique de Gram-Schmidt empirique avec \mathcal{O}_1 pour constituer une approximation de $H_u^{L,0}$:

$$\hat{H}_u^{L,0,n_1} := \text{Vect}\{\hat{\phi}_{1,n_1}^u, \dots, \hat{\phi}_{L,n_1}^u\}.$$

Step 2 : On utilise du \mathbb{L}_2 -Boosting avec \mathcal{O}_2 sur le dictionnaire appris $\mathcal{D} = \{\hat{\phi}_{1,n_1}^1, \dots, \hat{\phi}_{L,n_1}^1, \dots, \hat{\phi}_{1,n_1}^u, \dots, \hat{\phi}_{L,n_1}^u, \dots\}$ pour obtenir une décomposition parcimonieuse.

$$f(X) = \sum_{\substack{u \in S^* \\ |u| \leq d}} \sum_{l_u} \beta_{l_u}^u \phi_{l_u}^u(X^u) \simeq \sum_{\substack{u \in S^* \\ |u| \leq d}} \sum_{l_u} \beta_{l_u}^u \hat{\phi}_{l_u,n_1}^u(X^u).$$

Greedy Hierarchically Orthogonal Functional Decomposition

Initialisation : On coupe \mathcal{O} en deux $\mathcal{O}_1 \cup \mathcal{O}_2$ de taille (n_1, n_2) .

Step 1 : $\forall u \in S$, on utilise la procédure d'orthogonalisation hiérarchique de Gram-Schmidt empirique avec \mathcal{O}_1 pour constituer une approximation de $H_u^{L,0}$:

$$\hat{H}_u^{L,0,n_1} := \text{Vect}\{\hat{\phi}_{1,n_1}^u, \dots, \hat{\phi}_{L,n_1}^u\}.$$

Step 2 : On utilise du \mathbb{L}_2 -Boosting avec \mathcal{O}_2 sur le dictionnaire appris $\mathcal{D} = \{\hat{\phi}_{1,n_1}^1, \dots, \hat{\phi}_{L,n_1}^1, \dots, \hat{\phi}_{1,n_1}^u, \dots, \hat{\phi}_{L,n_1}^u, \dots\}$ pour obtenir une décomposition parcimonieuse.

$$f(X) = \sum_{\substack{u \in S^* \\ |u| \leq d}} \sum_{l_u} \beta_{l_u}^u \phi_{l_u}^u(X^u) \simeq \sum_{\substack{u \in S^* \\ |u| \leq d}} \sum_{l_u} \beta_{l_u}^u \hat{\phi}_{l_u,n_1}^u(X^u).$$

Greedy Hierarchically Orthogonal Functional Decomposition

Initialisation : On coupe \mathcal{O} en deux $\mathcal{O}_1 \cup \mathcal{O}_2$ de taille (n_1, n_2) .

Step 1 : $\forall u \in S$, on utilise la procédure d'orthogonalisation hiérarchique de Gram-Schmidt empirique avec \mathcal{O}_1 pour constituer une approximation de $H_u^{L,0}$:

$$\hat{H}_u^{L,0,n_1} := \text{Vect}\{\hat{\phi}_{1,n_1}^u, \dots, \hat{\phi}_{L,n_1}^u\}.$$

Step 2 : On utilise du \mathbb{L}_2 -Boosting avec \mathcal{O}_2 sur le dictionnaire appris $\mathcal{D} = \{\hat{\phi}_{1,n_1}^1, \dots, \hat{\phi}_{L,n_1}^1, \dots, \hat{\phi}_{1,n_1}^u, \dots, \hat{\phi}_{L,n_1}^u, \dots\}$ pour obtenir une décomposition parcimonieuse.

$$f(X) = \sum_{\substack{u \in S^* \\ |u| \leq d}} \sum_{l_u} \beta_{l_u}^u \phi_{l_u}^u(X^u) \simeq \sum_{\substack{u \in S^* \\ |u| \leq d}} \sum_{l_u} \hat{\beta}_{l_u}^u \hat{\phi}_{l_u,n_1}^u(X^u).$$

Convergence de la base approchée

- **H_b¹** : $\sup_{i \in \llbracket 1, p \rrbracket} \|\phi^i(X_i)\|_\infty < +\infty$,
- **H_b²** : $p_n = \mathcal{O}_{n \rightarrow +\infty}(\exp(n^{1-\xi}))$, avec $0 < \xi \leq 1$,
- **H_b³** : La matrice de Gram A du système linéaire satisfait :

$$\exists C > 0, \quad \forall (i, j) \in \llbracket 1, p_n \rrbracket^2, \quad \det(A^{ij}) \geq C n^{-\vartheta}.$$

Théorème (Champion *et al.* (2014))

*Sous les hypothèses **H_b¹⁻³**, si $\vartheta < \xi/2$, la suite $(\hat{\phi}^u)_u$ vérifie :*

$$\sup_u \left\| \hat{\phi}^u - \phi^u \right\| = \mathcal{O}_P(n^{\vartheta - \xi/2}).$$

Consistance de l'algorithme

- \mathbf{H}_ε : $\mathbb{E} |\varepsilon|^t < \infty$, pour un certain $t > 4/\xi$,

Notons • $S := \sum_{\substack{u \in S^* \\ |u| \leq d}} \sum_{l_u} \mathbb{1}_{\beta_{l_u}^u \neq 0}$ la parcimonie de f ,

$$\bullet \hat{f}(X) = \sum_{\substack{u \in S^* \\ |u| \leq d}} \sum_{l_u} \hat{\beta}_{l_u}^u \hat{\phi}_{l_u, n_1}^u.$$

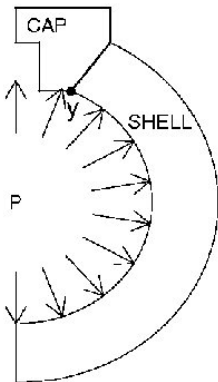
Théorème (Consistance, Champion *et al.* (2014))

Sous les hypothèses \mathbf{H}_b^{1-3} et \mathbf{H}_ε , si $\vartheta < \xi/2$, il existe $k_n := C \log n$ telle que, si $S \sqrt{\frac{\log p}{n}} \xrightarrow[n \rightarrow \infty]{} 0$:

$$\left\| \hat{f} - f \right\| \xrightarrow[n \rightarrow +\infty]{\mathbb{P}} 0.$$

Applications numériques

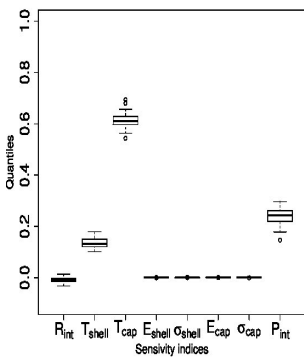
Variables dépendantes



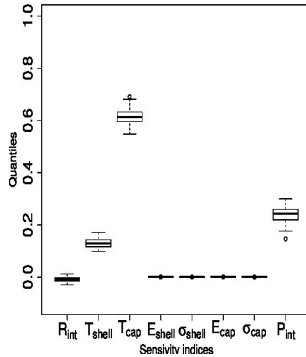
Le critère de von Mises (ou critère énergétique de distorsion élastique) est à expliquer en fonction des variables suivantes :

- le rayon interne de la paroi R_{int} ,
- l'épaisseur de la paroi T_{shell} ,
- l'épaisseur du bouchon T_{cap} ,
- la pression interne P_{int} ,
- le module de Young E_{shell}, E_{cap} ,
- la limite d'élasticité σ_{shell} et σ_{cap} .

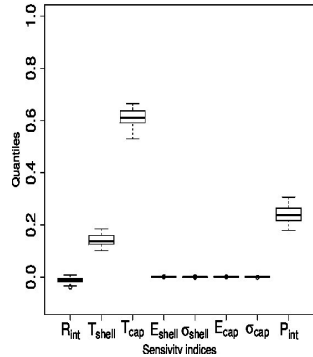
Résultats numériques



(a) FoBa



(b) Boosting



(c) Lasso

| Méthodes | $\ \hat{\beta}\ _0$ | Temps de calcul (en s) |
|--------------------------|---------------------|------------------------|
| \mathbb{L}_2 -Boosting | 10 | 0.0266 |
| FoBa | 22 | 0.3741 |
| Lasso | 23 | 0.15 |

1 Algorithmes de \mathbb{L}_2 -Boosting et leurs applications

- Les algorithmes de \mathbb{L}_2 -Boosting pour la résolution de régressions parcimonieuses multi-tâches
- Application des algorithmes de \mathbb{L}_2 -Boosting à l'analyse de sensibilité pour l'estimation d'indices de Sobol

2 Apprentissage de liens causaux dans des graphes acycliques dirigés

- Estimation de graphe par maximum de vraisemblance pénalisé
- Inégalités en prédiction et en estimation
- Implémentation d'un algorithme génétique hybride

1 Algorithmes de \mathbb{L}_2 -Boosting et leurs applications

- Les algorithmes de \mathbb{L}_2 -Boosting pour la résolution de régressions parcimonieuses multi-tâches
- Application des algorithmes de \mathbb{L}_2 -Boosting à l'analyse de sensibilité pour l'estimation d'indices de Sobol

2 Apprentissage de liens causaux dans des graphes acycliques dirigés

- Estimation de graphe par maximum de vraisemblance pénalisé
- Inégalités en prédiction et en estimation
- Implémentation d'un algorithme génétique hybride

Modèle et hypothèses

On s'intéresse au modèle suivant :

$$\forall j \in \llbracket 1, p \rrbracket, \quad X^j = \sum_{i=1, i \neq j}^p (G_0)_i^j \ X^i + \varepsilon^j,$$

où $\varepsilon^j \sim \mathcal{N}(0, \sigma_j^2)$ et $(G_0)_i^j \neq 0$ représente l'effet du nœud (gène) X^j vers le nœud X^i , sous les hypothèses suivantes :

- 1 le graphe \mathcal{G}_0 associé à la matrice G_0 est un *Graphe Acyclique Dirigé* (DAG),

Modèle et hypothèses

On s'intéresse au modèle suivant :

$$\forall j \in \llbracket 1, p \rrbracket, \quad X^j = \sum_{i=1, i \neq j}^p (G_0)_i^j X^i + \varepsilon^j,$$

où $\varepsilon^j \sim \mathcal{N}(0, \sigma_j^2)$ et $(G_0)_i^j \neq 0$ représente l'effet du nœud (gène) X^j vers le nœud X^i , sous les hypothèses suivantes :

- ① le graphe \mathcal{G}_0 associé à la matrice G_0 est un *Graphe Acyclique Dirigé* (DAG),
- ② les variables aléatoires $(X^i)_{1 \leq i \leq p}$ suivent une loi normale,

Modèle et hypothèses

On s'intéresse au modèle suivant :

$$\forall j \in \llbracket 1, p \rrbracket, \quad X^j = \sum_{i=1, i \neq j}^p (G_0)_i^j X^i + \varepsilon^j,$$

où $\varepsilon^j \sim \mathcal{N}(0, \sigma_j^2)$ et $(G_0)_i^j \neq 0$ représente l'effet du nœud (gène) X^j vers le nœud X^i , sous les hypothèses suivantes :

- ① le graphe \mathcal{G}_0 associé à la matrice G_0 est un *Graphe Acyclique Dirigé* (DAG),
- ② les variables aléatoires $(X^i)_{1 \leq i \leq p}$ suivent une loi normale,
- ③ les variances du bruit sont indépendantes du nœud choisi : $\sigma_j^2 = \sigma_{j'}^2$ pour tout $j \neq j'$ (on les supposera égales à 1).

Modèle et hypothèses

On s'intéresse au modèle suivant :

$$\forall j \in \llbracket 1, p \rrbracket, \quad X^j = \sum_{i=1, i \neq j}^p (G_0)_i^j \ X^i + \varepsilon^j,$$

où $\varepsilon^j \sim \mathcal{N}(0, \sigma_j^2)$ et $(G_0)_i^j \neq 0$ représente l'effet du nœud (gène) X^j vers le nœud X^i , sous les hypothèses suivantes :

- ① le graphe \mathcal{G}_0 associé à la matrice G_0 est un *Graphe Acyclique Dirigé* (DAG),
- ② les variables aléatoires $(X^i)_{1 \leq i \leq p}$ suivent une loi normale,
- ③ les variances du bruit sont indépendantes du nœud choisi : $\sigma_j^2 = \sigma_{j'}^2$ pour tout $j \neq j'$ (on les supposera égales à 1).
→ permet de montrer l'**identifiabilité** du modèle (Peters, 2014)

Estimateur du maximum de vraisemblance

- On suppose que l'on observe un échantillon $(X_i^1, \dots, X_i^p)_{1 \leq i \leq n}$ i.i.d. de taille n du modèle précédent, réécrit sous la forme matricielle simplifiée : $X = XG_0 + \varepsilon$.
- Pour reconstruire le vrai réseau, une méthode classique en statistiques consiste à trouver l'estimateur du maximum de vraisemblance

$$\hat{G} = \underset{G \in \mathcal{G}_{DAG}}{\operatorname{argmin}} \quad \left\{ \frac{1}{n} \sum_{i=1}^p \sum_{j=1}^p \left((X - XG)_i^j \right)^2 \right\}$$

où \mathcal{G}_{DAG} désigne l'ensemble des graphes acycliques dirigés.

Estimateur du maximum de vraisemblance

- On suppose que l'on observe un échantillon $(X_i^1, \dots, X_i^p)_{1 \leq i \leq n}$ i.i.d. de taille n du modèle précédent, réécrit sous la forme matricielle simplifiée : $X = XG_0 + \varepsilon$.
- Pour reconstruire le vrai réseau, une méthode classique en statistiques consiste à trouver l'estimateur du maximum de vraisemblance **pénalisée** :

$$\hat{G} = \underset{G \in \mathcal{G}_{DAG}}{\operatorname{argmin}} \quad \left\{ \frac{1}{n} \sum_{i=1}^p \sum_{j=1}^p \left((X - XG)_i^j \right)^2 + \lambda \mathbf{pen}(G) \right\}$$

où \mathcal{G}_{DAG} désigne l'ensemble des graphes acycliques dirigés.

Estimateur du maximum de vraisemblance

- On suppose que l'on observe un échantillon $(X_i^1, \dots, X_i^p)_{1 \leq i \leq n}$ i.i.d. de taille n du modèle précédent, réécrit sous la forme matricielle simplifiée : $X = XG_0 + \varepsilon$.
- Pour reconstruire le vrai réseau, une méthode classique en statistiques consiste à trouver l'estimateur du maximum de vraisemblance **pénalisée** :

$$\hat{G} = \underset{G \in \mathcal{G}_{DAG}}{\operatorname{argmin}} \quad \left\{ \frac{1}{n} \sum_{i=1}^p \sum_{j=1}^p \left((X - XG)_i^j \right)^2 + \lambda \|G\|_1 \right\},$$

où \mathcal{G}_{DAG} désigne l'ensemble des graphes acycliques dirigés et

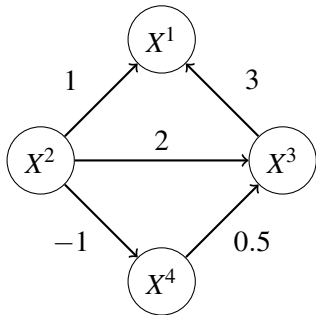
$$\|G\|_1 = \sum_{i,j} |G_i^j|$$

Décomposition d'un DAG

Une matrice G est compatible avec un DAG \mathcal{G} ssi :

$$G = PT^tP,$$

où P et T sont respectivement une matrice de permutation et une matrice triangulaire inférieure stricte.



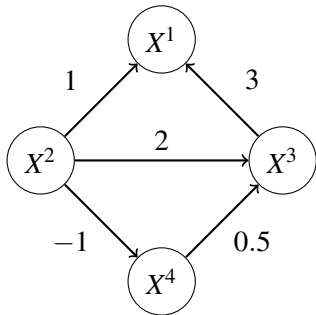
$$G = \begin{pmatrix} 0 & 0 & 0 & 0 \\ 1 & 0 & 2 & -1 \\ 3 & 0 & 0 & 0 \\ 0 & 0 & 0.5 & 0 \end{pmatrix}$$

Décomposition d'un DAG

Une matrice G est compatible avec un DAG \mathcal{G} ssi :

$$G = PT^tP,$$

où P et T sont respectivement une matrice de permutation et une matrice triangulaire inférieure stricte.



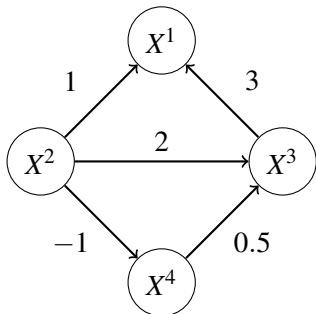
$$T = \begin{pmatrix} 0 & 0 & 0 & 0 \\ 3 & 0 & 0 & 0 \\ 0 & 0.5 & 0 & 0 \\ 1 & 2 & -1 & 0 \end{pmatrix}$$

Décomposition d'un DAG

Une matrice G est compatible avec un DAG \mathcal{G} ssi :

$$G = PT^tP,$$

où P et T sont respectivement une matrice de permutation et une matrice triangulaire inférieure stricte.



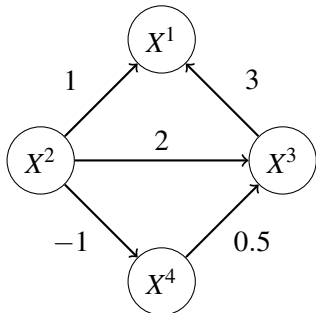
$$P = \begin{pmatrix} 1 & 0 & 0 & 0 \\ 0 & 0 & 0 & 1 \\ 0 & 1 & 0 & 0 \\ 0 & 0 & 1 & 0 \end{pmatrix}$$

Décomposition d'un DAG

Une matrice G est compatible avec un DAG \mathcal{G} ssi :

$$G = PT^tP,$$

où P et T sont respectivement une matrice de permutation et une matrice triangulaire inférieure stricte.



$$P = \begin{pmatrix} 1 & 0 & 0 & 0 \\ 0 & 0 & 0 & 1 \\ 0 & 1 & 0 & 0 \\ 0 & 0 & 1 & 0 \end{pmatrix}$$

$\rightarrow \sigma = (1 \ 3 \ 4 \ 2) \in \mathfrak{S}_p$
permutation qui ordonne les noeuds du graphe.

Décomposition d'un DAG

Une matrice G est compatible avec un DAG \mathcal{G} ssi :

$$G = PT^tP,$$

où P et T sont respectivement une matrice de permutation et une matrice triangulaire inférieure stricte.

On se ramène au problème de minimisation suivant :

$$(\hat{P}, \hat{T}) = \underset{P \in \mathbb{P}_p(\mathbb{R}), T \in \mathbb{T}_p(\mathbb{R})}{\operatorname{argmin}} \left\{ \frac{1}{n} \|X - XPT^tP\|_F^2 + \lambda \|T\|_1 \right\},$$

où $\|X\|_F^2 = \sum_{i,j=1}^p (X_i^j)^2$.

D'un point de vue théorique

Considérons $\hat{G}(\lambda) = \hat{P}\hat{T}^t\hat{P}$, où

$$(\hat{P}, \hat{T}) = \operatorname{argmin}_{P \in \mathbb{P}_p(\mathbb{R}), T \in \mathbb{T}_p(\mathbb{R})} \left\{ \frac{1}{n} \|X - XPT^tP\|_F^2 + \lambda \|T\|_1 \right\}.$$

Notons Π_0 l'ensemble des permutations telles que :

$$\Pi_0 = \{P \in \mathbb{P}_p(\mathbb{R}), {}^tPG_0P \text{ est triangulaire inférieure stricte}\}.$$

Deux objectifs :

- Est-ce que \hat{P} appartient à Π_0 ?
- Obtention d'inégalités comparant $\hat{G}(\lambda)$ avec G_0 ?

Hypothèses sur le modèle

H_{cov} $\max_{1 \leq j \leq p} \text{Var}(X^j) \leq \sigma_0^2$, où σ_0^2 est indépendant de p, n .

H_{RE(s)} Pour $s \in \llbracket 1, p^2 \rrbracket$,

$$\kappa(s) := \min_{\mathcal{S} \subset \llbracket 1, p \rrbracket^2, |\mathcal{S}| \leq s} \min_{\|M_{\mathcal{S}^C}\|_1 \leq 3\|M_{\mathcal{S}}\|_1} \frac{\|XM\|_F}{\sqrt{n} \|M_{\mathcal{S}}\|_F} > 0.$$

H_S Le nombre maximal de parents s_{max} d'un nœud du graphe satisfait :

$$s_{max} \leq C \sqrt{\frac{n}{\log p}} p^{-3/2}.$$

Hypothèses sur le modèle

H_{cov} $\max_{1 \leq j \leq p} \text{Var}(X^j) \leq \sigma_0^2$, où σ_0^2 est indépendant de p, n .

H_{RE(s)} Pour $s \in \llbracket 1, p^2 \rrbracket$,

$$\kappa(s) := \min_{\mathcal{S} \subset \llbracket 1, p \rrbracket^2, |\mathcal{S}| \leq s} \min_{\|M_{\mathcal{S}^C}\|_1 \leq 3\|M_{\mathcal{S}}\|_1} \frac{\|XM\|_F}{\sqrt{n} \|M_{\mathcal{S}}\|_F} > 0.$$

H_S Le nombre maximal de parents s_{max} d'un nœud du graphe satisfait :

$$s_{max} \leq C \sqrt{\frac{n}{\log p}} p^{-3/2}.$$

H_{dim} $p^3 \log p = \underset{n \rightarrow +\infty}{\mathcal{O}}(n)$.

Hypothèses sur le modèle

H_{cov} $\max_{1 \leq j \leq p} \text{Var}(X^j) \leq \sigma_0^2$, où σ_0^2 est indépendant de p, n .

H_{RE(s)} Pour $s \in \llbracket 1, p^2 \rrbracket$,

$$\kappa(s) := \min_{\mathcal{S} \subset \llbracket 1, p \rrbracket^2, |\mathcal{S}| \leq s} \min_{\|M_{\mathcal{S}^C}\|_1 \leq 3\|M_{\mathcal{S}}\|_1} \frac{\|XM\|_F}{\sqrt{n} \|M_{\mathcal{S}}\|_F} > 0.$$

H_S Le nombre maximal de parents s_{max} d'un nœud du graphe satisfait :

$$s_{max} \leq C \sqrt{\frac{n}{\log p}} p^{-3/2} \leq \mathbf{C}.$$

H_{dim} $p^3 \log p = \underset{n \rightarrow +\infty}{\mathcal{O}}(n)$.

D'un point de vue théorique

Considérons $\hat{G}(\lambda)$ avec $\lambda = 2C\sqrt{\frac{\log p}{n}s_{max}}$. Sous les hypothèses **H_{cov}**, **H_S**, **H_{dim}** et une condition d'identifiabilité*, avec probabilité au moins $1 - 5/p$:

$$\hat{P} \in \Pi_0.$$

* Hypothèse permettant de s'assurer qu'on apprend correctement l'ordre des variables.

D'un point de vue théorique

Considérons $\hat{G}(\lambda)$ avec $\lambda = 2C\sqrt{\frac{\log p}{n}s_{max}}$. Sous les hypothèses \mathbf{H}_{cov} , $\mathbf{H}_{\mathbf{S}}$, $\mathbf{H}_{\mathbf{dim}}$ et une condition d'identifiabilité*, avec probabilité au moins $1 - 5/p$:

$$\hat{P} \in \Pi_0.$$

Théorème (Inégalités en prédiction et estimation)

De plus, si on suppose que l'hypothèse $\mathbf{H}_{\text{RE}}(\mathbf{s})$ est satisfaite pour un certain $1 \leq s \leq p^2$, alors, avec probabilité au moins $1 - 5/p$:

$$\frac{1}{n} \left\| X\hat{G} - XG_0 \right\|_F^2 \leq \frac{16C^2 s_{max}^2 \log p}{n \kappa^2(s)},$$

$$\left\| \hat{G} - G_0 \right\|_1 \leq \frac{16C}{\kappa^2(s)} \sqrt{\frac{\log p}{n}} s_{max}^{3/2}.$$

* Hypothèse permettant de s'assurer qu'on apprend correctement l'ordre des variables.

Procédure d'optimisation

$$(\hat{P}, \hat{T}) = \operatorname{argmin}_{P \in \mathbb{P}_p(\mathbb{R}), T \in \mathbb{T}_p(\mathbb{R})} \left\{ \frac{1}{n} \|X - XPT^tP\|_F^2 + \lambda \|T\|_1 \right\}.$$

- ① Si on connaît $\hat{P} \in \mathbb{P}_p(\mathbb{R})$, le problème devient convexe et on peut trouver $\hat{T} \in \mathbb{T}_p(\mathbb{R})$ solution de :

$$\hat{T} = \operatorname{argmin}_{T \in \mathbb{T}_p(\mathbb{R})} \left\{ \frac{1}{n} \|X - X\hat{P}T^t\hat{P}\|_F^2 + \lambda \|T\|_1 \right\}.$$

Procédure d'optimisation

$$(\hat{P}, \hat{T}) = \operatorname{argmin}_{P \in \mathbb{P}_p(\mathbb{R}), T \in \mathbb{T}_p(\mathbb{R})} \left\{ \frac{1}{n} \|X - XPT^tP\|_F^2 + \lambda \|T\|_1 \right\}.$$

- 1 Si on connaît $\hat{P} \in \mathbb{P}_p(\mathbb{R})$, le problème devient convexe et on peut trouver $\hat{T} \in \mathbb{T}_p(\mathbb{R})$ solution de :

$$\hat{T} = \operatorname{argmin}_{T \in \mathbb{T}_p(\mathbb{R})} \left\{ \frac{1}{n} \|X - X\hat{P}T^t\hat{P}\|_F^2 + \lambda \|T\|_1 \right\}.$$

- 2 L'exploration de l'ensemble des permutations est difficile étant données sa taille et sa structure (ensemble discret et non convexe).

Procédure d'optimisation

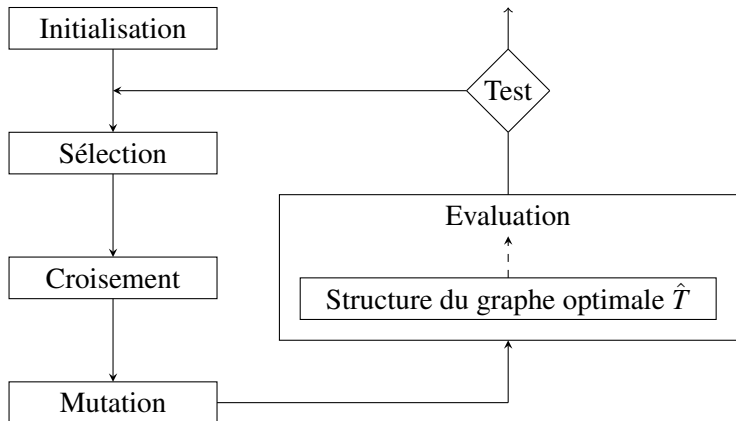
$$(\hat{P}, \hat{T}) = \operatorname{argmin}_{P \in \mathbb{P}_p(\mathbb{R}), T \in \mathbb{T}_p(\mathbb{R})} \left\{ \frac{1}{n} \|X - XPT^tP\|_F^2 + \lambda \|T\|_1 \right\}.$$

- 1 Si on connaît $\hat{P} \in \mathbb{P}_p(\mathbb{R})$, le problème devient convexe et on peut trouver $\hat{T} \in \mathbb{T}_p(\mathbb{R})$ solution de :

$$\hat{T} = \operatorname{argmin}_{T \in \mathbb{T}_p(\mathbb{R})} \left\{ \frac{1}{n} \|X - X\hat{P}T^t\hat{P}\|_F^2 + \lambda \|T\|_1 \right\}.$$

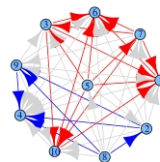
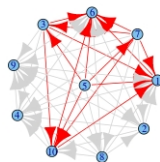
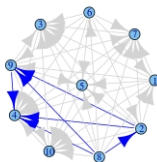
- 2 L'exploration de l'ensemble des permutations est difficile étant données sa taille et sa structure (ensemble discret et non convexe).
 → Mise en place d'un algorithme génétique hybride.

Algorithme génétique hybride



Opérateur de croisement

$$\begin{array}{cccccccccc} & 4 & 3 & 10 & 7 & 5 & 9 & 1 & 2 & 6 & 8 \\ + & 6 & 1 & 9 & 4 & 10 & 2 & 8 & 3 & 7 & 5 \\ = & 4 & * & * & * & 9 & 2 & 1 & 2 & 8 & 5 \end{array}$$

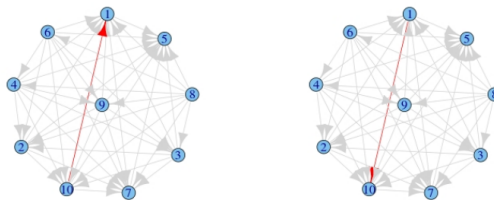


Opérateur de mutation

5 7 1 10 2 3 9 4 6 8

↓

5 7 10 1 2 3 9 4 6 8



Résultats numériques I

Pour une valeur de paramètre de pénalisation λ donnée, on compare les arêtes apprises avec les arêtes du vrai réseau afin de calculer

- la sensibilité (ou rappel), mesurant le ratio entre arêtes correctement prédites et arêtes à prédire,

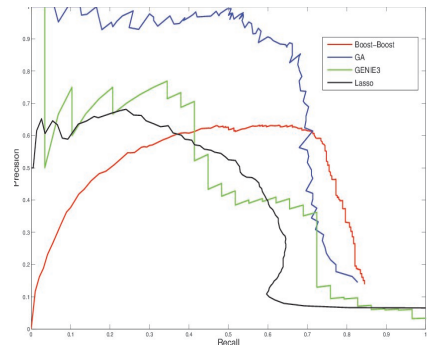
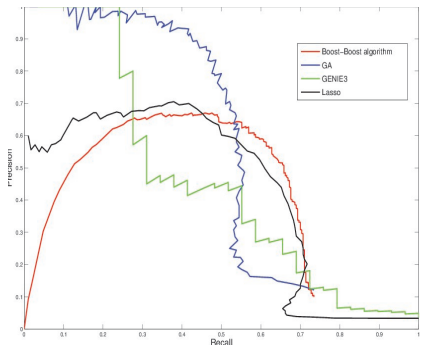
$$\text{sensibilité} = \frac{\text{Vrais Positifs}}{\text{Vrais Positifs} + \text{Faux Négatifs}}.$$

- la précision, mesurant le ratio entre arêtes correctement prédites et arêtes prédites,

$$\text{précision} = \frac{\text{Vrais Positifs}}{\text{Vrais Positifs} + \text{Faux Positifs}},$$

ce qui permet de tracer des courbes précision-rappel en faisant varier le paramètre λ .

Résultats numériques I



Courbes précision-rappel pour deux réseaux en “étoile” de taille 30

algorithme génétique (en bleu)

forêts aléatoires (en vert)

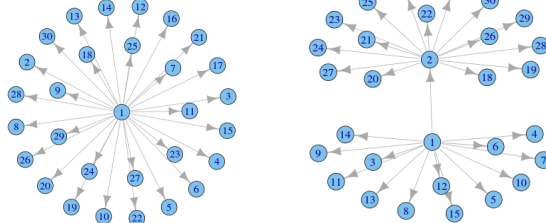
algorithme de Boosting multi-tâches (en rouge)

Lasso (en noir).

Résultats numériques II

| Méthode | algo génétique | Boosting | Forêts aléatoires | Lasso |
|---------|----------------|----------|-------------------|---------------|
| N1 | 0.5223 | 0.3947 | 0.4212 | 0.4312 |
| N2 | 0.6919 | 0.4315 | 0.4136 | 0.3920 |
| N3 | 0.3557 | 0.3596 | 0.2718 | 0.4112 |
| N4 | 0.4171 | 0.2332 | 0.2887 | 0.3349 |

TABLE: Aire sous la courbe précision-recall pour l'ensemble des réseaux et l'état de l'art.



Synthèse des travaux

- Mise en place d'un algorithme pour la résolution de régressions parcimonieuses multi-tâches.

Synthèse des travaux

- Mise en place d'un algorithme pour la résolution de régressions parcimonieuses multi-tâches.
- Adaptation de l'algorithme de \mathbb{L}_2 -Boosting pour l'estimation d'indices de sensibilité dans le cas de variables dépendantes.

Synthèse des travaux

- Mise en place d'un algorithme pour la résolution de régressions parcimonieuses multi-tâches.
- Adaptation de l'algorithme de \mathbb{L}_2 -Boosting pour l'estimation d'indices de sensibilité dans le cas de variables dépendantes.
- Apprentissage de relations causales au sein du graphe : adaptation des résultats théoriques obtenus par van de Geer *et al.* (2013) pour une pénalité en norme ℓ_0 et implémentation d'un algorithme génétique hybride.

Conclusion

- Les algorithmes de \mathbb{L}_2 -Boosting constituent des méthodes de régression performantes :
 - Pas d'hypothèse nécessaire sur la structure de corrélation du design (cas $m = 1$),
 - temps de calcul inférieurs à ceux des méthodes de l'état de l'art,
 - adaptation au cas multi-tâches pour améliorer l'apprentissage de réseaux,
 - particulièrement adapté à l'analyse de sensibilité.

Conclusion

- Les algorithmes de \mathbb{L}_2 -Boosting constituent des méthodes de régression performantes :
 - Pas d'hypothèse nécessaire sur la structure de corrélation du design (cas $m = 1$),
 - temps de calcul inférieurs à ceux des méthodes de l'état de l'art,
 - adaptation au cas multi-tâches pour améliorer l'apprentissage de réseaux,
 - particulièrement adapté à l'analyse de sensibilité.
- Amélioration de l'apprentissage de réseaux en s'intéressant aux relations causales entre les nœuds du réseau
 - gérer les problèmes d'identifiabilité (restriction au cas où les variances du bruit sont égales),
 - exploration de l'ensemble des DAGs par un algorithme génétique hybride.

Perspectives

- Les algorithmes de \mathbb{L}_2 -Boosting :

- Affaiblir les hypothèses $\mathbf{H}_{\mathbf{RE}^\pm}$ en autorisant $\lambda_{max,min}$ à croître avec n ,
- Affaiblir l'hypothèse \mathbf{H}_b^1 en considérant des bases de fonctions plus grandes.

Perspectives

- Les algorithmes de \mathbb{L}_2 -Boosting :
 - Affaiblir les hypothèses $\mathbf{H}_{\mathbf{RE}^{\pm}}$ en autorisant $\lambda_{max,min}$ à croître avec n ,
 - Affaiblir l'hypothèse \mathbf{H}_b^1 en considérant des bases de fonctions plus grandes.
- L'algorithme génétique hybride :
 - Le tester sur des jeux de données réels, ou de plus grande dimension,
 - Faire un package R,
 - Montrer des résultats de convergence de l'algorithme génétique.

Perspectives

- Les algorithmes de \mathbb{L}_2 -Boosting :
 - Affaiblir les hypothèses $\mathbf{H}_{\mathbf{RE}^{\pm}}$ en autorisant $\lambda_{max,min}$ à croître avec n ,
 - Affaiblir l'hypothèse \mathbf{H}_b^1 en considérant des bases de fonctions plus grandes.
- L'algorithme génétique hybride :
 - Le tester sur des jeux de données réels, ou de plus grande dimension,
 - Faire un package R,
 - Montrer des résultats de convergence de l'algorithme génétique.
- Gérer les problèmes d'identifiabilité du modèle en considérant des données d'intervention pour orienter les arêtes du graphe apprises sans hypothèses supplémentaires sur les variances du bruit.

Merci pour votre attention !

-  E. Candes, T. Tao. The Dantzig selector : statistical estimation when p is much larger than n . *The Annals of Statistics*, 35(6) : 2313-2351, 2007.
-  M. Champion, C. Cierco-Ayrolles, S. Gadat, M. Vignes. Sparse regression and support recovery with \mathbb{L}_2 -Boosting algorithms. *JSPI*, 2014, à paraître.
-  M. Champion, G. Chastaing, S. Gadat, C. Prieur. \mathbb{L}_2 -Boosting for sensitivity analysis with dependent inputs. *Statistica Sinica*, 2014, à paraître.
-  G. Chastaing, F. Gamboa, C. Prieur. Generalized Hoeffding-Sobol decomposition for dependent variables. *Electronic Journal of Statistics*, 6 :2420-2448, 2012.
-  V. A. Huynh-Thu, A. Irrthum, L. Wehenkel, P. Geurts. Inferring regulatory networks from expression data using tree-based methods. *PLoS ONE*, 5(9) : e12776, 2010.
-  B. Liu, A. de la Fuente, I. Hoeschele. Gene network inference via structural equation modeling in genetical genomics experiments. *Genetics*, 178 : 1763–1776, 2008.
-  J. Peters, P. Bühlmann. Identifiability of Gaussian structural equation models with equal error variances. *Biometrika*, 101 :219-228, 2014.
-  R. Tibshirani. Regression shrinkage and selection via the lasso. *Journal of the Royal Statistical Society*, 58(1) : 267-288, 1996.
-  S. van de Geer, P. Bühlmann. ℓ_0 -penalized maximum likelihood for sparse directed acyclic graphs. *The Annals of Statistics*, 41(2) : 536-567.